

Rb-W

Rb-coordinating

Bp - 173 - X

1963

C.W.

(Rb-W)

Systems RbCl-WCl₆, RbCl-WCl₅, CsCl-WCl₆, and CsCl-WCl₅. I. V. Vasil'kova, N. D. Zaitseva, and V. A. Petrova. *Zh. Neorgan. Khim.* 8(10), 2369-71(1963); cf. CA 60, 1325a. RbCl-WCl₅ consists of compds. RbWCl₆ melting incongruently at 410° and Rb₂WCl₇, m. 726°. RbCl-WCl₆ is similar to that of KCl-WCl₆: Cl was evolved; the incongruent compd. RbWCl₆ did not react with WCl₆; $\beta \rightarrow \alpha$ -RbWCl₆ transition at 300°: the eutectic melting a little below the m.p. of WCl₆ contained ~1.5-2% RbCl. Apparently, WCl₆ and RbWCl₆ formed solid solns. In CsCl-WCl₆ and CsCl-WCl₅, compds. CsWCl₄ and Cs₂WCl₇, m. 510 and 748°, resp., formed. Eutectics, m. 568 and ~275°, were located at 89 and ~2% CsCl. GBJR

C.A.1964.60.5
4856f

+1

W

Rb₂WO₄

Skker S.W.H.

1970

Rb₂MoO₄

"gr."

T_{tr}

-X

"J. Appl. Crystallogr.",

1970, 3, N5, 389-392

Bop + 5244



(Cu. K-Mo)Γ

$Rb_2 WCl_6$

14

5/16

SM_f

390

Королевский Д. В.
Кудряшова Т. Н.

1970

ак. неорганических
15 (12), 3373

$(Ca.K_2 WCl_6)_T$



$\text{RB}_3\text{W}_2\text{Cl}_9$

ΔM_f

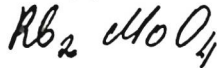
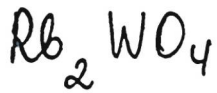
Kygrywoka

1880

J. N. u gp.

xc. neopnat. Zellerup,
15 (12), 325 γ

(see. $\text{K}_3\text{W}_2\text{Cl}_9$) I



Van den Akker A.W. II.
et al.

1970

T_{tr}

J. Appl. Crystallogr.,
3(Pt. 5), 389.



(C_{eff.} K-Mo) \bar{I}

$\text{Ga}_2\text{O}_3 \cdot 3\text{Rb}_2\text{O} \cdot 21\text{WO}_3$

1973

+ 89492t Double tungstates of gallium with rubidium and cesium. Pavlova, S. A.; Mokhosoev, M. V. (Donetsk. Gos. Univ., Donetsk, USSR). *Zh. Neorg. Khim.* 1973, 18(1), 263-5 (Russ). The x-ray phase anal. of the systems M_2WO_4 -($\text{Ga}_2\text{O}_3 + 3\text{WO}_3$), $\text{M}_2\text{WO}_4 \cdot 6\text{WO}_3$ - Ga_2O_3 and ($3\text{M}_2\text{WO}_4 + \text{Ga}_2\text{O}_3$)- WO_3 ($\text{M} = \text{Rb}$ or Cs) revealed the formation of the double tungstates $\text{Ga}_2\text{O}_3 \cdot 3\text{Rb}_2\text{O} \cdot 21\text{WO}_3$ and $\text{Ga}_2\text{O}_3 \cdot 3\text{Cs}_2\text{O} \cdot 21\text{WO}_3$, m. 1015 and 1025°, resp. The ir absorption max. and the intensity and distance parameters of the x-ray phase anal. of these compds. are listed.

(Tm)

(+1)

☒

C.A. 1973. 28 Nov

Rb_2WO_4 (rb)

Lommel 9584

1974

Rb_2WCl_6 (rb)

Barnes D.S.

$Rb_3W_2Cl_9$ (rb)

Cx, Mo, W-compound

Comp. Anal. Thermochim.

(ΔH_f)

Data. CATCH-tables



Univ. Sussex, Brighton,
Sussex, 1974.

~~R₆xWO₃~~

1974

Bewolo A. J.
Shanks H. R.

(Cp)

(X) Phys. Rev. B: Solid State"
1974, 9, N8, 3220-3228 (área)

Bp⁻¹ - 8.6748

/cu K_x WO₃; T)

1974

Rb_xW₃

82994m Low-temperature heat capacity of rubidium-tungsten bronze. Kienzle, William E. (Iowa State Univ., Ames, Iowa). 1973. 123 pp. (Eng). Avail. Univ. Microfilms, Ann Arbor, Mich., Order No. 74-9127. From Diss. Abstr. Int. B 1974, 34(10), 5132.

(C_P)

C.A. 1974. 81. N14

ВР - 7391 - X

1974

Rb_xWO₃

9 Е1148. Термоемкость рубидиево-вольфрамовой бронзы. Kienzle W. E., Bevolo A. J., Danielson G. C., Li P. W., Shanks H. R., Sidles P. H. Heat capacity of rubidium tungsten bronze. «Low Temp. Phys. — LT 13. Vol. 3». New York — London, 1974, 408—410 (англ.)

Все образцы Rb_xWO₃ представляли собой тексаг. монокристаллы, полученные электролизом расплава, который содержал RbCl и WO₃. Образцы были очищены в горячем растворе NaOH, подвергнуты термообработке при 650° С в течение 48 ч и затем охлаждены до комнатной т-ры со скоростью 50° С/ч; x менялось в пределах 0,27÷0,31. Четыре образца становились сверхпроводящими при т-ре ~1,8° К, в то время как для 5-го образца $T_c = 1,7^{\circ}$ К. C_p возрастала линейно с увеличением x . Магн. поля величиной в 100 гс было достаточно для подавления сверхпроводимости при т-ре ниже 1° К у всех образцов. В поле 5 кгс температурная зависимость теплоемкости не описывалась известной ф-лой $C_p = \gamma T + A_3 T^3$, что делало невозможным аккуратное определение величин γ и A_3 .

В. О.

9.1975 № 9

1974

B97-7391-XRb_xWO₃

(Cp)

90917z Heat capacity of rubidium tungsten bronze.
Kienzle, W. E.; Bevolo, A. J.; Danielson, G. C.; Li, P. W.;
Shanks, H. R.; Sidles, P. H. (Ames Lab., Iowa State Univ.,
Ames, Iowa). *Low Temp. Phys.-LT 13, Proc. Int. Conf. Low
Temp. Phys., 13th 1972* (Pub. 1974). 3, 40S-10 (Eng). Edited

by Timmerhaus, Klaus D; O'Sullivan, William J; Hammel, E. F.
Plenum: New York, N. Y. Heat capacity was detd. of Rb_xWO₃
[51312-37-9] bronzes at 1-16°K in presence and absence of
magnetic fields. All samples had superconducting transitions
near 1.8°K. The heat capacity curves at low temps. show
anomalies which cannot be explained.

C.A. 1975. 82, N14

B90-7391-X 1974

Rb_xWO₃

16 Б841. Теплоемкость вольфраморубидиевой бронзы. Kienzle W. E., Bevolo A. J., Danielson G. C., Li P. W., Shanks H. R., Sidles P. H. Heat capacity of rubidium tungsten bronze. «Low Temp. Phys.—LT 13. Vol. 3». New York—London, 1974, 408—410 (англ.)

В интервале т-р 1—16° К измерена теплоемкость 5-ти вольфраморубидиевых бронз Rb_xWO_3 с x от 0,27 до 0,31 в различных магнитных полях. В полях, меньших 2 гс, т-ра перехода всех бронз в сверхпроводящее состояние T_c составляла 1,8—1,7° К. В интервале т-р 1—3,3° К теплоемкость линейно растет с ростом x . Увеличение напряженности поля до 100 гс снижает T_c ниже 1° К для всех образцов. В интервале $1 < T^2 < 56$ в поле 5 кгс зависимость C/T от T^2 имеет уступообразную форму, что не позволяет точно определить зависимость электронного вклада в теплоемкость и т-ры Дебая от x .

А. Гузей

1975 N 16

B9P - 8919-X

1974

R_b_xWO₃

(C_p, Q_D)

90918a Specific heat, Optical, and transport properties of hexagonal tungsten bronzes. King, C. N.; Benda, J. A.; Greene, R. L.; Geballe, T. H. (Dep. Appl. Phys., Stanford Univ., Stanford, Calif.). *Low Temp. Phys.-LT 13, Proc. Int. Conf. Low Temp. Phys., 13th 1972* (Pub. 1974). 3, 411-15 (Eng). Edited by Timmerhaus, Klaus D; O'Sullivan, William J; Hammel, E. F. Plenum: New York, N. Y. The sp. heats and optical properties of hexagonal R_b_xWO₃ [51312-37-9] ($x \sim 1/3$) were detd. and compared with published values for cubic Na_xWO₃ ($0.5 < x < 1$) to gain more information on the differences between cubic and hexagonal (superconducting) bronze structures. Below 3°K, the electronic and lattice sp. heat coeffs. for R_b_xWO₃ are $\gamma = 2.2 \pm 0.07$ mJ/mole-degree² and $\beta = 0.117 \pm 0.007$ mJ/mole-degree⁴, resp. The Debye temp. is 415 ± 15 °K. Above 3°K, the lattice sp. heat of R_b_xWO₃ is much higher than predicted by Debye theory perhaps due to an addnl. Einstein mode. R_b_xWO₃ has anisotropy in optical reflectivity not shown by cubic Na_xWO₃.

C.A. 1975.

82. N14

1974

 Rb_xWO_3

20 Б641. Теплоемкость, оптические свойства и свойства переноса для гексагональных вольфрамовых бронз. King C. N., Benda J. A., Greene R. L., Geballe T. H. Specific heat, optical, and transport properties of hexagonal tungsten bronzes «Low Temp. Phys.-LT-13. Vol. 3». New York—London, 1974, 411—415 (англ.)

Исследованы теплоемкость C (в интервале т-р 1,5—20° К) и спектры оптич. поглощения (в интервале энергий 0—3 эв) монокрист. образцов Rb_xWO_3 , полученных из расплава ($x \approx 1/3$). На т-рной зависимости C наблюдался резкий скачок, соотв-щий переходу в сверхпроводящее состояние при 2° К; выше этой т-ры наблюдалось отклонение от линейного роста C с т-рой. Св-ва Rb_xWO_3 сопоставлены со св-вами Na_xWO_3 . Для интервала 2—3° выделены электронная (γ) и решеточ-

(C_p)

Х. 1975 № 20

ная (β) компонента коэф. теплоемкости, составляющие 2,2 и 0,11 мдж/ $^{\circ}$ К 2 . Выше т-ры 3 $^{\circ}$ К решеточная теплоемкость Rb_xWO_3 гораздо выше, чем предсказывает модель Дебая. «Избыточная» теплоемкость Rb_xWO_3 описана в рамках дополнительной моды Эйнштейновской, причем т-ра Эйнштейна составляет 57 $^{\circ}$ К. Исследовано влияние кислотного / травления на теплоемкость Rb_xWO_3 и рассмотрено возможное происхождение низкоэнергетич. Эйнштейновой моды у Rb_xWO_3 .

На спектрах поглощения Rb_xWO_3 наблюдается край плазменного поглощения при 1,4 эв. М. Мороховец

$\text{Rb}_2\text{WO}_4(\text{f}\ell)$

1974

O'Hare P.A.G.

J. Chem Thermodyn

1974, 6(7) 681-91 (eng)

(as Li_2ClO_4 ; I)

Rb-вольфраматы

литов

(T_{tz})

БФ-1462-XV

1974

13 Б466. Двойные вольфраматы рубидия и Р.З.Э.

Трунов В. К., Рыбаков В. К. «Ж. неорган. химии», 1974, 19, № 3, 636—640

Методами рентгенофазового (фокусирующая камера — монохроматор, λ Cu- $K\alpha$) и ДТА изучен полиморфизм двойных Rb, R-вольфраматов, где R — РЗЭ. Монокристаллы получены из р-ра в расплаве RbCl при 750—850°. Установлено, что Rb, R-вольфраматы проявляют в структурном отношении большое сходство с двойными вольфраматами калия и РЗЭ от Sm до Lu. Большая группа Rb, R-вольфраматов (R от La до Tm) изоструктурна β -KY(WO₄)₂, при повышении т-ры происходит превращение в модификации со структурой α -KHo(WO₄)₂. Высокот-рные α -модификации Rb, R-вольфраматов для R от Tm до Lu изоструктурны тригон. RbIn(WO₄)₂ и KSc(WO₄)₂. Приведены значения I , d и hkl рентгенограмм порошка и т-ры полиморфных превращений.

Н. В. Суворова

Х. 1974. № 13



РЗЭ-вольфраматы.

$\text{Rb}_2\text{O} \cdot \text{WO}_3 - \text{WO}_3$ BGP-4531a-IX 1975

Chang Yuke d. Y.

(Tm)

"J. Amer. Ceram. Soc" 1975,
58, N7-8, 267-270 (with)

(as $\text{Li}_2\text{O} \cdot \text{WO}_3 - \text{WO}_3$; I)

Rb_2WO_4 (mb., r.a.) Ommnick 3591 1975

(13)
10053
-15
+5

Choudary U. V.
Ginderich K. A., et al.

$^{1H}f_{248}$

4 H atoms

J. Less-Common Met.,
1975, 42, 111-26.

Mass-spectros determination
of the thermod. stabilities...

51024.3445

40891

1975

C₁h, TCRb₂WO₄

4510103

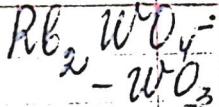
БФ 9494-X

Denielou Lucien, Petitet Jean-Pierre,
 Tequi Cristophe. High -temperature calorimetric measurements: silver sulphate
 and alkali chromates, molybdates, and tungstates."J.Chem. Thermodyn.", 1975, 7,
 N 9, 901-902 (англ.)/ai. Rb₂WO₄; T)

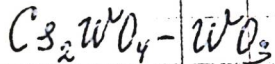
450 454 4'7 4

0482 ВИНИТИ

1975



6 Б851 Деп. О взаимодействии вольфраматов рубидия и цезия с вольфрамовым ангидридом. Дробашев Т. И., Скоропад Т. С., Богодухова Н. А. (Редколлегия «Ж. физ. химии» АН СССР). М., 1975. 11 с., ил., библиогр. 8 назв. (Рукопись деп. в ВИНИТИ 11 дек. 1975 г., № 3536—75 Деп.).



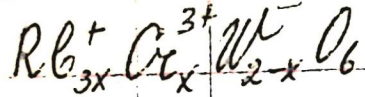
Различными методами физ.-хим. анализа исследованы системы $\text{Rb}_2\text{WO}_4 - \text{WO}_3$ и $\text{Cs}_2\text{WO}_4 - \text{WO}_3$. В системе $\text{Rb}_2\text{WO}_4 - \text{WO}_3$ установлено образование трех изополивольфраматов рубидия: бивольфрамат, конгруэнтно плавящийся при 706° , тривольфрамат и гексавольфрамат рубидия, конгруэнтно плавящиеся. Установлено три полиморфных превращения вольфрамата рубидия при 238 , 338 и 500° . В системе $\text{Cs}_2\text{WO}_4 - \text{WO}_3$ образуется бивольфрамат цезия, конгруэнтно плавящийся при 760° с фазовым переходом при 690° , три- и тетравольфраматы цезия, плавящиеся с разложением; им отвечают т-ры перехода 860 и 888° . Установлены полиморфные превращения вольфрамата цезия при 550° и триоксида вольфрама при 740° .

(T_m)
($T_{t\alpha}$)

+1

1976 №

Автореферат



1975

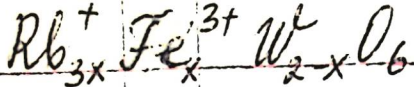
Kleivstøl P.V. et al.,

Ttr

Zh. Neorg. Khim.,

1975, 20(8), 2104-7

(ccci, K-W; T)



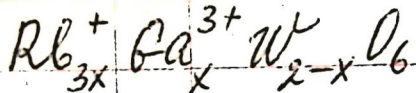
1975

Xleostod P.V., et al.,

Zh. Neorg. Khim.,

1975, 20(8), 2104-7

(Acc. K-20^o; T)



1975

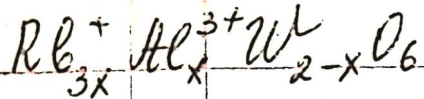
Klevstod P. S et. al.,

Ttx

Zh. Neorg. Khim.,

1975, 20(8), 2104-7.

(crys. K-W; I)



1975

Kleostos P. V. et al.,

Ttr

Zh. Neorg. Khim.,

1975, 20(8). 2104-7

(c.c.r. K-W; -)

$Rb_5 Bi(MoO_4)_4$

1975

Klevtsov P. V.

(Tm)

Izv. Akad. Nauk SSSR

Neorg. Mater. 1975, 11(2)

387-388 / Russ

(see $Rb_5 Bi(MoO_4)_4$, I)

Rb₃WO₃

1975

132331m Concentration dependence of superconductivity in rubidium tungsten bronzes. Wanlass, David R.; Sienko, M. J. (Baker Lab. Chem., Cornell Univ., Ithaca, N.Y.). *J. Solid State Chem.* 1975, 12(3-4), 362-9 (Eng). Rb W bronzes of compn. Rb_xWO₃ ($0.20 < x < 0.33$) were prep'd. in well-defined cryst. form and examd. for supercond. by flux-expulsion techniques. An unusual double max. with peak values in the crit. temp. of 4.35°K at $x = 0.20$ and 2.90°K at $x = 0.30$ is obsd. One possible explanation would be enhanced electron-phonon coupling assoc'd. with ordering of Rb occupancy in the hexagonal tunnels. The effect of acid etching was also examd.; an obsd. increase in crit. temp. is not due to H replacement for Rb as was postulated. Crit. magnetic field studies indicate type II behavior consistent with the Abrikosov-Ginzburg equation.

(T_{tr})

C.A. 1975, 82, 1120

$Rb_{0.2}WO_3$

1976

(Ttr)

85: 86118j Anisotropy of H_{c2} in $Rb_{0.2}WO_3$. Stanley, R. K.; Skokan, M. R.; Morris, R. C.; Moulton, W. G. (Dep. Phys., Florida State Univ., Tallahassee, Fla.). *Solid State Commun.* 1976, 19(6), 555-7 (Eng). The superconducting transition temp. and upper crit. field for hexagonal single crystals of $Rb_{0.2}WO_3$ were measured. Rotation data on the upper crit. field in the plane perpendicular to the c-axis showed a large anisotropy with a 60° periodicity. Rotation in a plane contg. the c-axis showed an even larger anisotropy having 180° symmetry.

c.a. 1976 85N12

РБ № 4

1977

Дробашева М. И. исп.

(Тм)

Угл. АН СССР. Неорг.
материалы" 1977, 13, № 12,
2224-2228

сн. № 2 № 4 - I

Li₂WO₄, Rb₂WO₄

1974

(Tm)

90: 61969c Phase diagram of the lithium tungstate-rubidium tungstate-tungsten trioxide system. Drobashova, T. I.; Bogodukhova, N. A. (USSR). Deposited Doc. 1977, VINITI 1477-77, 12 pp. (Russ). Avail. VINITI. The Li₂WO₄-Rb₂WO₄-WO₃ system was studied by DTA, visual-polythermal, IR spectral, and x-ray phase anal. methods. A congruently melting binary tungstate ($\text{Li}_2\text{WO}_4 \cdot \text{Rb}_2\text{WO}_4$) is formed in the Li_2WO_4 - Rb_2WO_4 binary section. The ternary system contains 10 invariant points including 5 ternary eutectics. The new compd. $2\text{Li}_2\text{WO}_4 \cdot 7\text{Rb}_2\text{WO}_4 \cdot 11\text{WO}_3$ and a bronze ($\text{Li}_x\text{Rb}_y\text{WO}_3$) are formed in the ternary system.

CA 1979 80, N8

1978

21 Б1023. Термическая устойчивость диокситетрахлорвольфрамата рубидия. Шарипов Д., Курбаниев А. Р., Абдукадырова С. А., Елисеев С. С., Малышева Л. Е. «Докл. Акад. Фанхон РСС Таджикистан», Докл. АН ТаджССР», 1978, 21, № 3, 31—33

Статическим методом в мембранный камере исследован процесс парообразования $Rb_2WO_2Cl_4$ (I), полученного при нагревании смеси WO_2Cl_2 и $RbCl$ стехиометрич. состава в вакууме. Показано, что при т-рах до 520° идет только процесс перехода I в пар. Нагревание до 730° приводит к разл. I с образованием $WOCl_4$ (II) и испарению этого соединения. При т-ре 760° давл. II в паре составляет 7—10% общего давл. Сделан вывод, что общее давл. определяется в основном I, и выражение для константы равновесия принимает вид $K = P_{общ} = P$ I. Получена зависимость $\lg P - 1/T$, имеющая излом при 570° , к-рый объясняется плавлением I. Приведены численные значения констант ур-ний $\lg P_{общ} = f(T)$, полученные усреднением эксперим. данных по МНК. Рассчитаны термич. характеристики (ΔH и ΔS) для процессов сублимации и испарения I.

М. В. Ландау

AH, AS, Tc

P,

Х-1978, №21

1978

*Rb_xWO₃**возможные
переходы*

11 Б882. Возможные новые фазовые переходы в гексагональном Rb_xWO₃. Stanley R. K., Moris R. C., Moulton W. G. Possible new phase transitions in hexagonal Rb_xWO₃. «Solid State Commun.», 1978, 27, № 12, 1277—1280 (англ.)

Исследована зависимость от т-ры и состава ($0,16 < x < 0,33$) электросопротивления (ρ), коэф. Холла (R) и жоэф. Зеебека (S) образцов Rb_xWO₃ (I), полученных спеканием тонкодисперсных смесей Rb₂WO₄, W и WC при 950° в течение 5 дней. Т-ра перехода I в сверхпроводящее состояние (T_c) возрастает с уменьшением x в области $\sim 0,26 < x < 0,33$, резко падает от 7,16 до 0,6 К вблизи состава с $x=0,25$ и вновь возрастает с уменьшением x в области $0,16 < x < 0,25$. Образцы I имеют металлич. проводимость n -типа, а т-рные зависимости ρ , S и R претерпевают изменение при нек-рой т-ре T_s ,

x.1979, N11

к-рая имеет максим. величину (~ 280 К) при $x=0,25$. Предполагается наличие в I двухфазовых переходов. Один из этих переходов сильно зависит от т-ры, к-рая изменяется с изменением x , а другой зависит от конц-ии Rb и происходит при $x=0,25$. Последний, по-видимому, влияет на T_c I. Повышение T_c при $x<0,33$, вероятно, связано с усилением электрон-фононного взаимодействия вследствие приближения к области фазовой нестабильности при $x=0,25$. Рентгенофазовый анализ не выявляет структурных изменений при предполагаемых фазовых переходах, к-рые могут носить характер небольших искажений решетки и возможны связаны с упорядочением ионов Rb в матрице WO₃. B. C. Нешлор

RbxWO₃

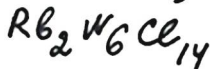
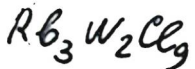
1978

90: 64688w Possible new phase transitions in hexagonal rubidium tungstate (Rb_xWO_3). Stanley, R. K.; Morris, R. C.; Moulton, W. G. (Dep. Phys., Florida State Univ., Tallahassee, Fla.). *Solid State Commun.* 1978, 27(12), 1277-80 (Eng). Two correlated phase transitions were obstd. in hexagonal Rb_xWO_3 with $0.16 \leq x \leq 0.33$. One is a concn.-dependent transition which occurs near $x = 0.25$, and precipitously affects the superconducting transition temp. The other is a temp.-dependent transition which appears as anomalies in the resistivity, Hall coeff., and Seebeck coeff. at 100-280 K. The temp. at which the anomalies occur depends strongly on the x -value.

Hx

CA. 1978 90, N8

1978



Воронцов Н. Р. и др.

Проба. coffee. химически
координат. соедин. (Москв.
траг), 1978, №, 132 -
- 146.

1 Hg



(ес. $Cs_3Nb_2Cl_9$; II)

Rb_2WBy_6 Lommel 8288 1979

Burgess John, et al.

$(CH_3)_2$ " 1979, v7, 143-49.

cut $K_2WO_6 - I$

1979

 Rb_xWO_3 Cs_xWO_3

Tc

91: 100744t Structure and superconductivity in alkali tungsten bronzes. Kahn, L. M.; Ruvalds, J. (Phys. Dep., Univ. Virginia, Charlottesville, VA 22901 USA). *Phys. Rev. B: Condens. Matter* 1979, 19(11), 5652-60 (Eng). The anomalous concn. dependence of the superconducting transition temp. of alkali tungsten bronzes M_xWO_3 is consistent with electron pairing induced by the exchange of acoustic plasmons. Structural changes in these metals yield significant band-structure splitting, which is essential to the formation of well-defined acoustic-plasmon branches in the dielec. function. The authors results explain why cubic H_xMO_3 is not superconducting even for large metallic densities $x \rightarrow 1$, and further, demonstrate that the hexagonal phase is favorable to superconducting pairing in agreement with expts. on Rb_xWO_3 and Cs_xWO_3 . Possible neutron and Brillouin scattering expts. are proposed to directly measure the acoustic-plasmon dispersion and damping.

(+) 

P.A. 1979.21.V12

$\text{RBIn}(\text{NO}_3)_2$

1979

Otko A. T., et al.

(Tet)

Zh. Akad. Nauk SSSR,
Ser. Fiz. 1979, 43(8), 1625-24.

coll. KSe $(\text{NO}_3)_2 \cdot 1$

1948

Rb_xWO₃

Cs_xWO₃

(T_{tr})

④ ⑤

92: 50806n Normal and superconducting properties of tungsten bronze (Cs_xWO₃). Skokan, M. R.; Moulton, W. G.; Morris, R. C. (Dep. Phys., Florida State Univ., Tallahassee, FL 32306 USA). *Phys. Rev. B: Condens. Matter* 1979, 20(9), 3670-7 (Eng). The resistivity, Seebeck coeff., superconducting transition temp., and upper crit. field were measured in Cs_xWO₃ for $0.19 \leq x \leq 0.30$. In contrast to Rb_xWO₃, no temp.-dependent anomalies were obsd. in either the normal resistivity or the Seebeck coeff. The superconducting transition temp. T_c increases monotonically with decreasing x from 2 K at $x = 0.30$ up to 6.7 K at $x = 0.20$, with an inflection near 0.24. The resistivity as a function of x increases monotonically with decreasing x and also has an inflection near $x = 0.24$.

C.A. 1980, 92, N6

RbxWO₃

X-10354 1979

10 Б665. Свойства проводимости в гексагональной вольфрамовой бронзе, Rb_xWO_3 . Stanley R. K., Mott R. C., Moulton W. G. Conduction properties of the hexagonal tungsten bronze, Rb_xWO_3 . «Phys. Rev.», 1979, B20, № 5, 1903—1914 (англ.)

Различными методами получены кристаллы гексагон. вольфрамовой бронзы Rb_xWO_3 (I) с $x=0,16—0,33$. Проведены измерения электропроводности, эффекта Холла и коэф. Зеебека для I. В широком т-рном интервале исследованы также сверхпроводящие св-ва I. Для крайнего состава $\text{Rb}_{0,33}\text{WO}_3$ все полученные эксперим. данные указывают на наличие при комн. т-ре и более низких т-рах рассеяния электронов, связанного с ионами Rb. Для соединений I с $x<0,33$ наблюдались аномалии в зависимости электрич. транспортных св-в от т-ры, что позволяет предположить наличие в I фазового перехода, хотя при этом не наблюдалось изменений в крист. структуре I. Зависимость т-ры фазового перехода от состава имеет ярко выраженный максимум при $x=0,25$.

По резюме

*фазовый
переход*

Х 1980. N 10

Rb_xWO_3

1981

Cadwell, L. H.,
et al.

Ter

Phys. Rev. B: Condens.
Matter 1981, 23(5),
2219-23.

(ees, $KxWO_3$; I).

RbWO₃

1983

8 Б3140. Структурные фазовые превращения и температура перехода в сверхпроводящее состояние гексагональных соединений M_xWO_3 . Structural phase transitions and superconducting transition temperatures of hexagonal M_xWO_3 compounds. Sato M., Grier B. H., Fujishita H., Hoshino S., Moodenbaugh A. R. «J. Phys. C: Solid State Phys.», 1983, 16, № 27, 5217—5232 (англ.)

*Структурн.
Физ. превр.*

(X)

ж. 1984, 19, N8

Нейтронографическим методом исследованы структурные фазовые превращения и зависимости т-ры перехода в сверхпроводящее состояние от состава нестехиометрич. соединений M_xWO_3 (I) ($M=\underline{Rb, K}$) в интервале 10—428К и $x=0,20—0,35$. Исследовались монокрист. образцы $Rb_{0,33}WO_3$ и порошковые образцы I. Монокристаллы выращивались электролитич. методом, порошки были получены при взаимодействии WO_3 , W и M_2WO_3 в кварцевой трубе при 900°С в течение нескольких дней. В кач-ве монохроматора при съемке нейтронограмм использовался пиролитич. графит. Расчет струк-

KWO₃

тур I на основе нейтронографич. данных производился МНК. Определение структуры соединения $Rb_{0.27}WO_3$ осуществлялось с использованием профильного анализа дифракц. линий. Путем измерения спектров неупругого рассеяния установлено, что аномальное поведение зависимости $T_c(x)$, T_c — т-ра перехода I в сверхпроводящее состояние, не связано с изменением ω_m и обусловлено изменением периода решетки вдоль оси c , сопровождающегося упорядочением атомов M. В I обнаружено два типа структурных фазовых превращений: 1-е происходит при т-ре выше коми., обусловлено деформацией решетки I и сопровождается смягчением оптич. фонов в точке Г, 2-е является превращением порядок — беспорядок в расположении атомов M с образованием низкот-рной несоразмерной фазы. Сделан вывод о приемлемости модели локальных структурных возбуждений для объяснения явления сверхпроводимости в соединениях I.

В. Е. Смирнов

за
для

$RB_y WO_5$

1985

Betz T., Hoppe R.

Ciupryk - J. Less - Common Metals,
Mysa 1985, 105, N 1, 87-107.

(see $K_y WO_5$; 1)

Rb-W соедин. Лом: 25193 / 1986

Казаков А. С., Тареб-
евский В. В.,

ΔH_f
(углерод)
Укр. хим. журн., 1986, 52,
N 11, 1135-38.

$Rb_2WO_4(K)$

lom. 26986 1986

Касенов Б.Р., Абшев Д.Н.,
"ГР.",

$\Delta_f H$,
оценки Вестник Академии наук Казахской ССР,
1986, №3, 33-39.

Rb₂WO₄(K) [Om. 23458] 1986

Касенов Б.К., Абисарев Д.Н.
и др.,

ΔfH ,
оценки

Вестн. Акад. каз. сср,
1986, № 3, 33-39.

Rb_2WO_4 1988
Танукым с. х., Сункосин-
кое р-н. Н. Узб.

(ΔH_{tz}) $\frac{1}{2}$ Все с. комп. по химическому
механическому признаку.
(ΔH_m) Электропровод. Тест. Годжел.

Anomalous 1988, 18-19.

(см. Li_2WO_4 ; I)

Rb₂WO₄ (DM 36286) 1992

Rb-вольфрамат Фомичев В.В., Толстиков
Люба Н.Д. и др.,

SH, Tn, Успехи химии, 1992,
структура, 61, №9, 1601-1622
(отзоп)

Rb₂WO₄

2000

134: 107374n. High-temperature phase transitions in incommensurate Rb₂WO₄. Jorio, A.; Saint-Gregoire, P.; Pimenta, M. A. (Departamento de Fisica, Universidade Federal de Minas Gerais, 30123-970 Belo Horizonte, Brazil). *J. Phys.: Condens. Matter* 2000, 12(44), 9307-9315 (Eng), Institute of Physics Publishing. Raman expts. were performed on Rb₂WO₄ crystals, between room temp. and 850 K, including the high-temp. incommensurate phase. The exptl. results obsd. in the incommensurate ($T_1 = 746$ K) and the lock-in ($T_C = 660$ K) phase transitions can be explained by an order-disorder apex model, where the gradual up/down ordering of the WO₄²⁻ apexes is responsible for the structural changes. The as-grown sample exhibits a monoclinic-orthorhombic phase transition that is suppressed by heat treatment of the sample, and this result is confirmed by differential scanning calorimetry measurements.

(T_{i2})

pay. reply

C. I. 2001, 134, N8

Bonappanam Rb

2000

134: 198787p Mass spectrometric study of the thermodynamics
of rubidium tungstate evaporation. Kazenas, E. K.; Samoilova, I.
O.; Astakhova, G. K.; Petrov, A. A. (Moscow, Russia). *Metally* 2000,
(6), 30–32 (Russ), TOO NPP "ELIZ". The rubidium tungstate evapn.
was studied by mass spectrometry. The compd. is evapd. congruently.
Vapor pressure of the compd. was detd. at 1102–1307 K. Enthalpy and
free energy of sublimation are reported.

(H-K, 1 f3, 1 Haze)

C.A. 2001, 134, N74

Rb₂WO₄

2000

F: Rb₂WO₄ (T_{tc} , ΔS_{tc})
P: 1

02.01-19Б3.2. Термодинамика несоразмерного состояния в Rb[2]WO[4]: точка Лифшица в соединениях типа A[2]BX[4]. Thermodynamics of the incommensurate state in Rb[2]WO[4]: The Lifshitz point in A[2]BX[4] compounds / Luk'yanc I., Jorio A., Saint-Gregoire P. // Phys. Rev. B. - 2000. - 61, N 5. - C. 3147-3150. - Англ.

Изучена эволюция фазового перехода от исходной гексаг. фазы Р6[3]Іmmс к р фазе Рmсn, происходящего в некоторых соединениях типа A[2]BX[4] и зависящ от параметра гексаг. решетки с/а. Для соединений типа K[2]SO[4] с параметром с/а, превышающим пороговую величину 1,26, характерен прямой переход первого рода Рmсn' <-> Р6[3]Іmmс с большим скачком энтропии 'ЭКВИВ' R ln2. Для соединений Rb[2]WO[4], K[2]MoO[4], K[2]WO[4] (с/а < 1,26) переход происходит через промежуточную несоразмерную (Inc)-фазу. Для Rb[2]WO[4] проведены измерения методом

P_{Cr}
ASTR

дифференциальной сканирующей калориметрии, чтобы определить динамику переходов Рmсn'<->'Iнс'<->Р6[3]Іmmс. Обнаружено, что оба перехода также являются переходами первого рода со скачками энтропии $0,2 R \ln 2$ и $0 \ln 2$. В связи с этим величина с/а'ЭКВИВ' 1,26 для соединений типа А[2]ВХ[4] является необычной точкой Лифшица, в которой встречаются три линии перехода первого рода. Предполагается, что сочетание упругости кристалла с ориентацией тетраэдров ВХ[4] может быть источником отсутствия непрерывности переходов Библ. 25.
